

大強度ハドロンリングの チューンダイアグラム構成法について

岡本宏己, 小島邦洸, 渡嘉敷雄士 (広島大学)

共鳴

ビームの受ける外力(多くは電磁石による)が周期的に変動する場合、一定条件下での“**共鳴**”の発生は不可避である。

横方向自由度(2次元)における“ベータロン共鳴”に注目し、以下の主張の正当性を示す：

- 高密度ビーム本体(テール部分は除く)の共鳴不安定性は集団的に起こる。
- いわゆる“incoherent resonance”なる現象は少なくともビーム核内部には存在せず、したがって“incoherent tune spread”のような概念はほぼ無意味である。
- 高密度ビームの共鳴不安定帯は従来の一般公式が予言する数の2倍存在し得る。
- 水平・鉛直方向の初期エミッタنس比が調整可能な場合、ビーム密度に関係なく、任意の差共鳴の発生を人為的に強く抑制できる。

以上の主張に基づいて、チューンダイアグラムの簡便な構成手順を与える。

自己無撞着理論

クーロンポテンシャルは長距離力を生む



多数の荷電粒子が位相空間内で密集している時、粒子個々が全く相関を持たずに運動することなどあり得ない！



自己無撞着なアプローチ(PIC計算、ブラソフ解析など)が必須

ブラソフ-ポアソン方程式系

$$\begin{cases} \frac{\partial f}{\partial s} + [f, H_{\perp}] = 0 \\ \left(\frac{\partial^2}{\partial x^2} + \frac{\partial^2}{\partial y^2} \right) \phi_{sc} = -\frac{q}{\varepsilon_0} \iint f \, dp_x \, dp_y \end{cases}$$

個別粒子衝突(クーロン散乱)の影響が無視できる場合、極めて正確にビームの物理的振る舞いを予言する。

$$H_{\perp} = \frac{p_x^2 + p_y^2}{2} + \frac{1}{2} [K_x(s)x^2 + K_y(s)y^2] + \delta V(x, y; s) + \frac{4\pi\varepsilon_0 r_p}{q\gamma^3 \beta^2} \phi_{sc}(x, y; s)$$

非線形誤差・補正磁場

m 次共鳴条件 (1 次元)

- ▶ Single-particle resonance

$$mV_0 = n$$

- ▶ Incoherent resonance

$$m(V_0 - \Delta V) = n$$

- ▶ Coherent resonance

$$m(V_0 - C_{mh} \Delta V) = n$$

C_{mh} : 位相空間における方位角方向モード数(m)および
動径方向のモード数(h)に依存するパラメータ

F.J. Sacherer, Ph.D thesis, Lawrence Radiation Laboratory, 1968;
Report No. UCRL-18454, 1968.

m 次共鳴条件 (1 次元)

▶ Single-particle resonance

$$mV_0 = n$$

▶ Incoherent resonance

$$m(V_0 - \Delta V) = n$$

Incoherent tune shift

- ✓ 個別粒子依存
- ✓ 分布関数依存
- ✓ 観測不能量

▶ Coherent resonance

$$m(V_0 - C_{mh} \Delta V) = n$$

C_{mh} :位相空間における方位角方向モード数(m)および動径方向のモード数(h)に依存するパラメータ

F. J. Sacherer, Ph.D thesis, Lawrence Radiation Laboratory, 1968;
Report No. UCRL-18454, 1968.

m 次共鳴条件 (1 次元)

▶ Single-particle resonance

$$mV_0 = n$$

▶ Incoherent resonance

$$m(V_0 - \Delta V) = n$$

Incoherent tune shift

- ✓ 個別粒子依存
- ✓ 分布関数依存
- ✓ 観測不能量

▶ Coherent resonance

$$m(V_0 - C_m \Delta V) = \frac{n'}{2}$$

H. Okamoto and K. Yokoya, Nucl. Instrum. Meth. A **482**, 51 (2002).

m 次共鳴条件 (2 次元)

▶ Single-particle resonance

$$k\nu_{0x} + \ell\nu_{0y} = n$$

業界で広く用いられている公式

過去数十年にわたり、これらに基づいて
“チューンダイアグラム”が描かれている。

▶ Incoherent resonance

$$k(\nu_{0x} - \Delta\nu_x) + \ell(\nu_{0y} - \Delta\nu_y) = n \quad (k, \ell, n) \text{ は整数}$$

▶ Coherent resonance

？ ? ? ? ?

m 次共鳴条件 (2 次元)

▶ Single-particle resonance

$$k\nu_{0x} + \ell\nu_{0y} = n$$

業界で広く用いられている公式

過去数十年にわたり、これらに基づいて
“チューンダイアグラム”が描かれている。

▶ Incoherent resonance

$$k(\nu_{0x} - \Delta\nu_x) + \ell(\nu_{0y} - \Delta\nu_y) = n \quad (k, \ell, n) \text{ は整数}$$

▶ Coherent resonance

$$k(\nu_{0x} - C_m \Delta\bar{\nu}_x) + \ell(\nu_{0y} - C_m \Delta\bar{\nu}_y) = \frac{n'}{2}$$

$$m = |k| + |\ell|$$

C_m : 共鳴の次数(m)のみに依存する1より小さい定数

K. Kojima, H. Okamoto and Y. Tokashiki, Phys. Rev. AB 22, 074201 (2019).

m 次共鳴条件 (2 次元)

▶ Single-particle resonance

$$k\nu_{0x} + \ell\nu_{0y} = n$$

業界で広く用いられている公式

過去数十年にわたり、これらに基づいて
“チューンダイアグラム”が描かれている。

▶ Incoherent resonance

$$k(\nu_{0x} - \Delta\nu_x) + \ell(\nu_{0y} - \Delta\nu_y) = n \quad (k, \ell, n) \text{ は整数}$$

▶ Coherent resonance

$$k(\nu_{0x} - C_m \Delta\bar{\nu}_x) + \ell(\nu_{0y} - C_m \Delta\bar{\nu}_y) = \frac{n'}{2}$$

高密度領域では、共鳴帯の数が2倍に増える！

RMS tune shifts

- ✓ 個別粒子不依存
- ✓ 分布関数不依存
- ✓ 測定可能

$$m = |k| + |\ell|$$

C_m : 共鳴の次数(m)のみに依存する1より小さい定数

K. Kojima, H. Okamoto and Y. Tokashiki, Phys. Rev. AB 22, 074201 (2019).

ビーム核とビームハロー

ビーム核そのものの安定性に関する議論と核の周囲に存在する尻尾(tail particles)の安定性に関する議論を混同してはいけない！



最も知りたいのは“ビーム本体(コア部分)”の安定性である！

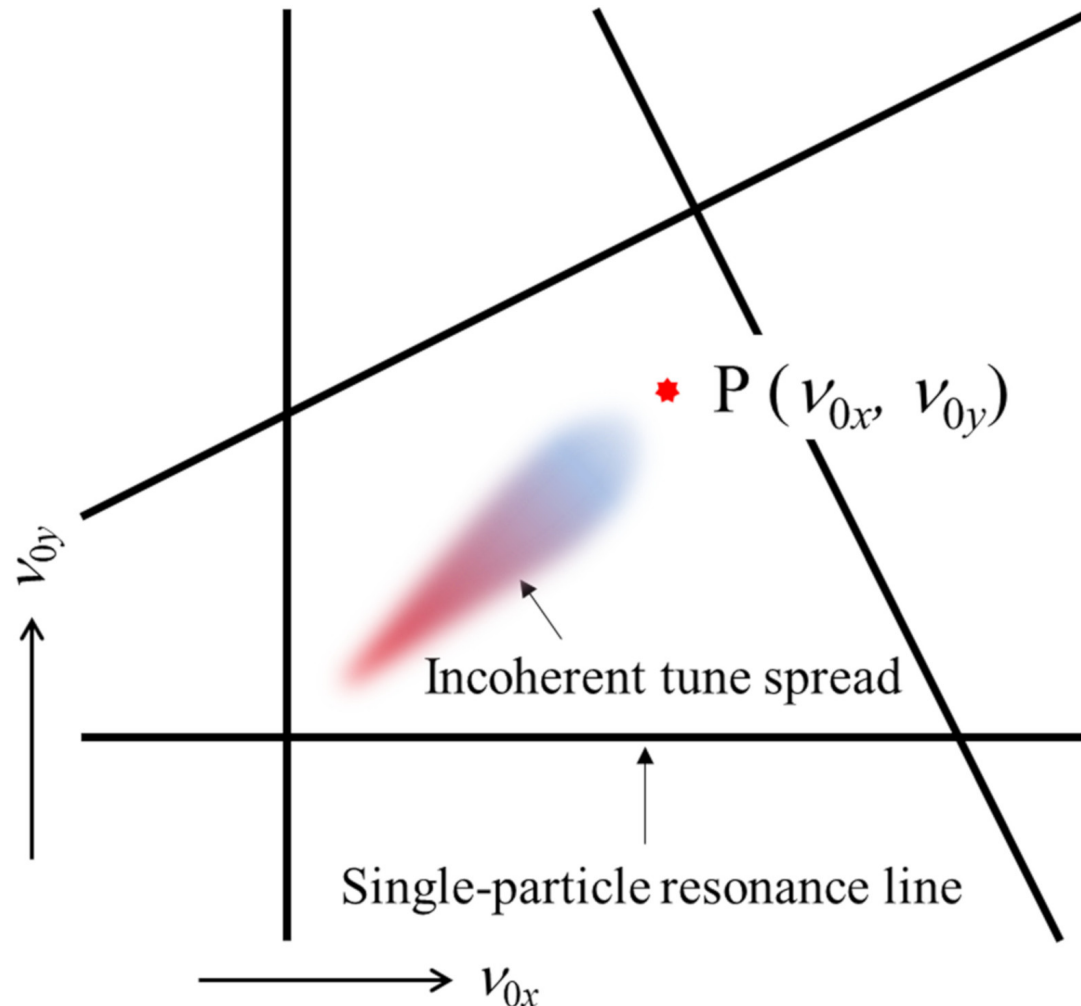
ビーム核が共鳴不安定化する条件(coherent resonance condition)はブラソフ方程式から摂動論的に導かれたもので、強い初期不整合を持つビームや何らかの理由で既に崩壊したビームの安定性を記述するものではない。

尻尾(ビームハロー)を構成する粒子はコア部分とのクーロン結合が弱く、擬単粒子的な振る舞いを示す；incoherent tune shiftはさほど大きくない。

コアの創るポテンシャルが或る種の外場として作用(Frozen Space-charge Model)

注：“ビーム核”を実空間上で定義しても無意味；核は μ -空間で定義しなければならない。

チューンダイアグラム (incoherent picture)



单粒子共鳴条件

$$k v_{0x} + \ell v_{0y} = n$$

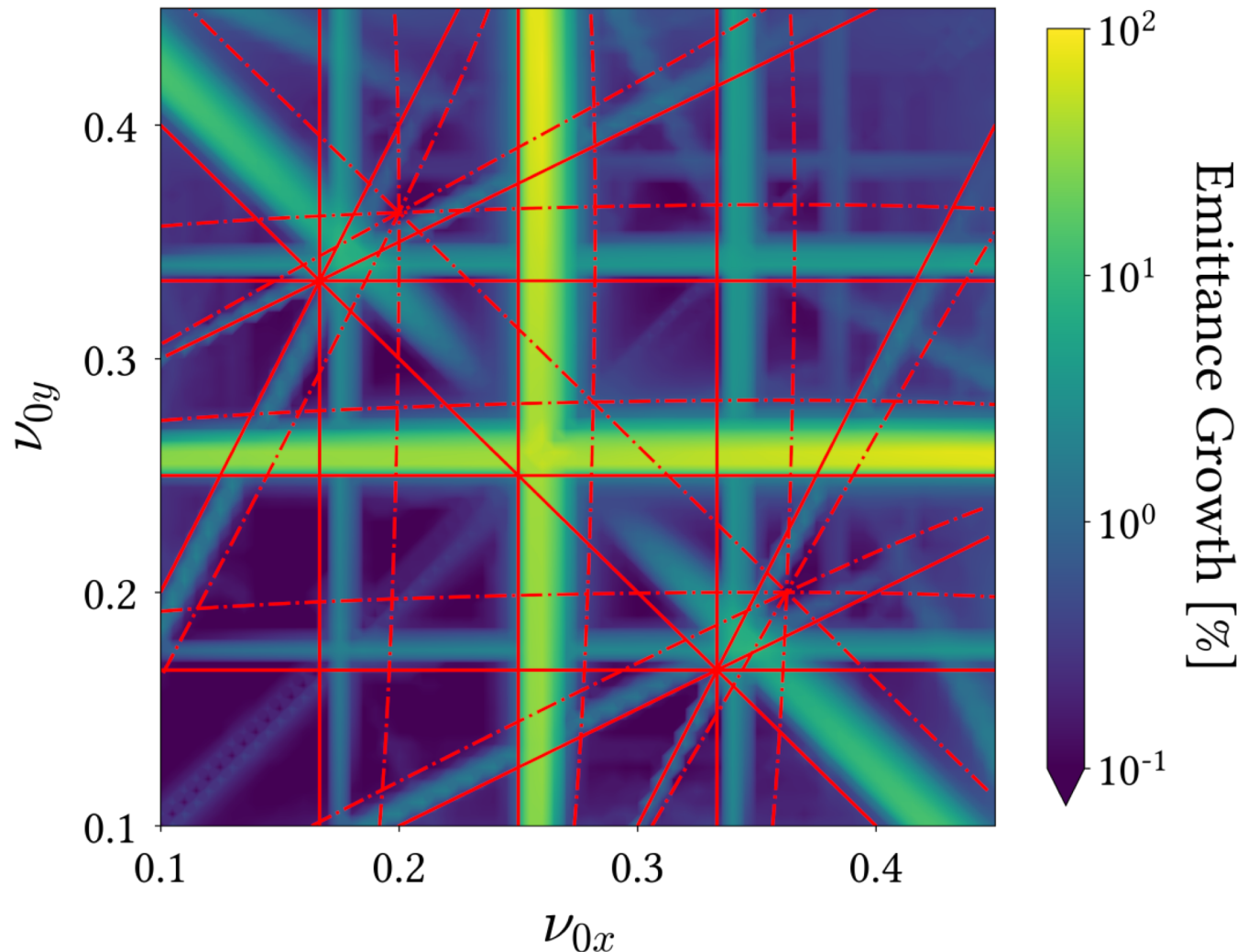
インコヒーレント共鳴条件

$$k(v_{0x} - \Delta v_x) + \ell(v_{0y} - \Delta v_y) = n$$

現行ルール

- ① 单粒子共鳴線を引く。ただし、どの次数の共鳴まで考慮するかに関する明確な指導原理はない。
- ② インコヒーレントチューンのもっともらしいシフト量を計算する。粒子分布関数は適当に仮定するしかない(ガウス型が頻繁に用いられている)。
- ③ インコヒーレントチューンの分布領域が①で描いた单粒子共鳴線と重ならない位置に動作点 P を置く。

PIC計算例 1



コヒーレント描像

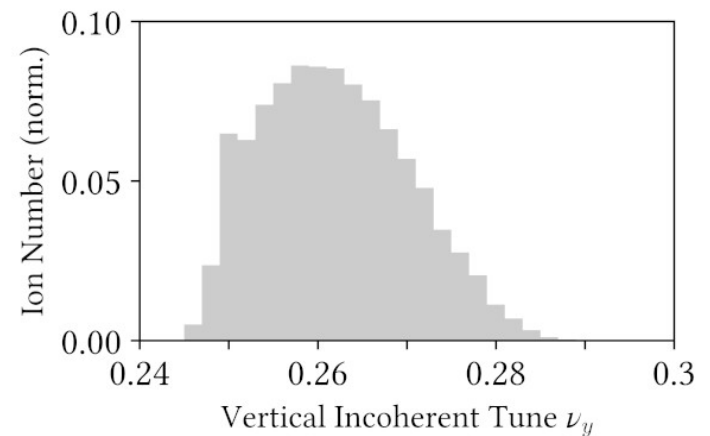
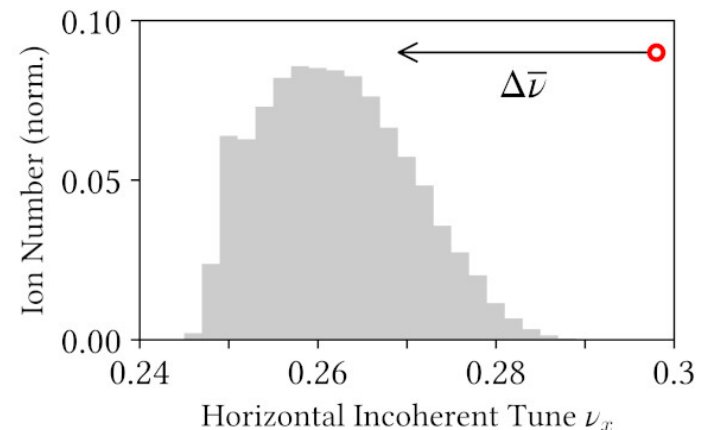
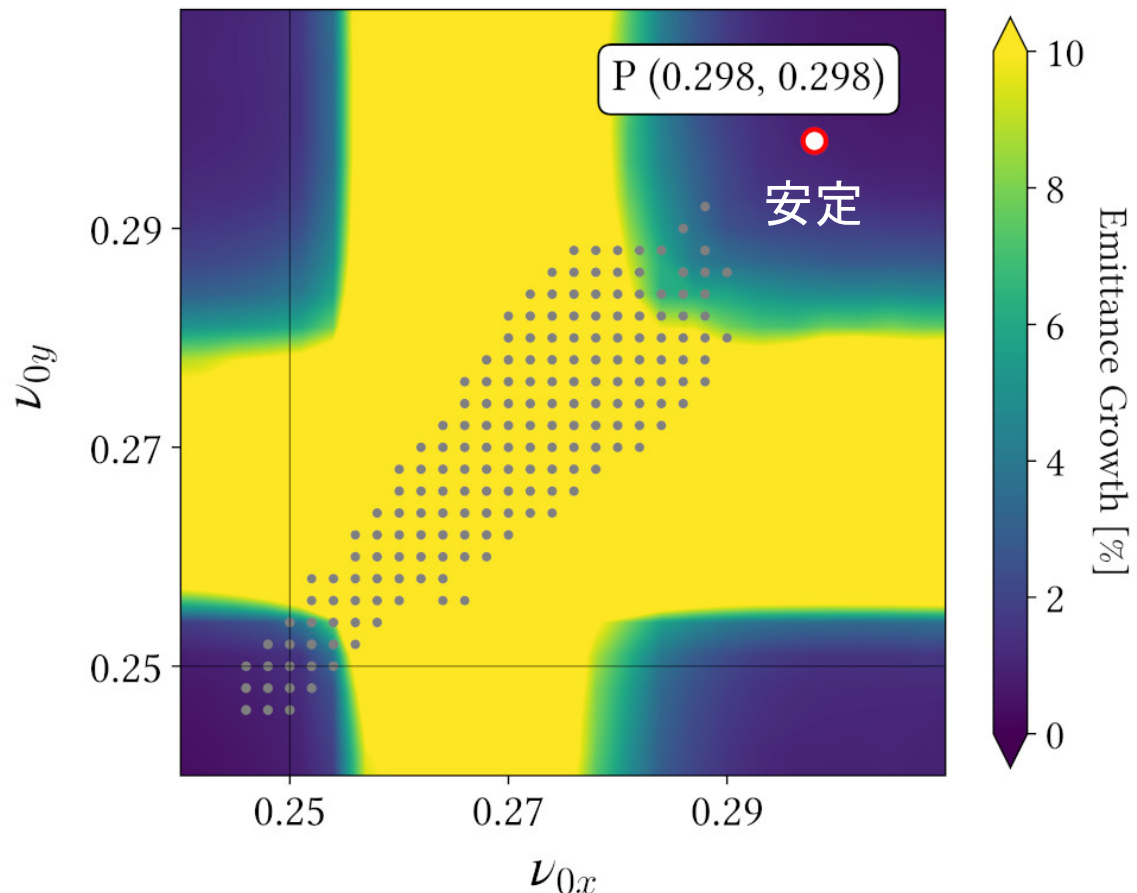
- 観測された共鳴帯はほぼ全て3次以下(一部4次)の低次不安定性

インコヒーレント描像

- 少なくとも8次までの高次不安定性を考えない限り、左図の結果は説明できない。
- 最も強い共鳴は4次ということになってしまう。
- バンド幅の共鳴次数依存性が説明できない。
- バンド幅は所謂“incoherent tune spread”に比べて明らかに狭い。

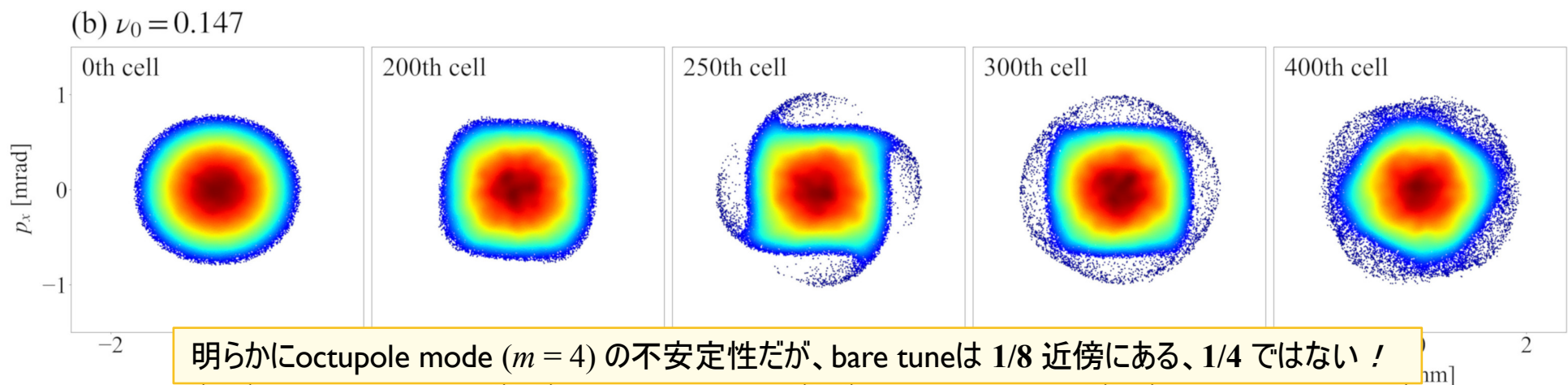
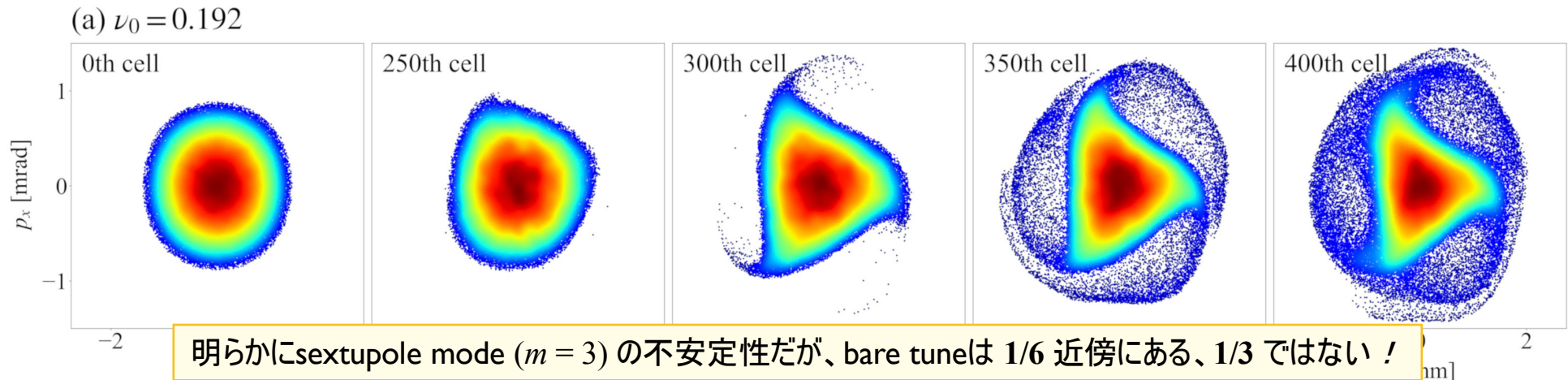
PIC計算例 2

インコヒーレントな共鳴は実際にビーム核内部で起こり得るのか？



PIC計算例 3

Initially matched “waterbag” core ($\eta = 0.8$)

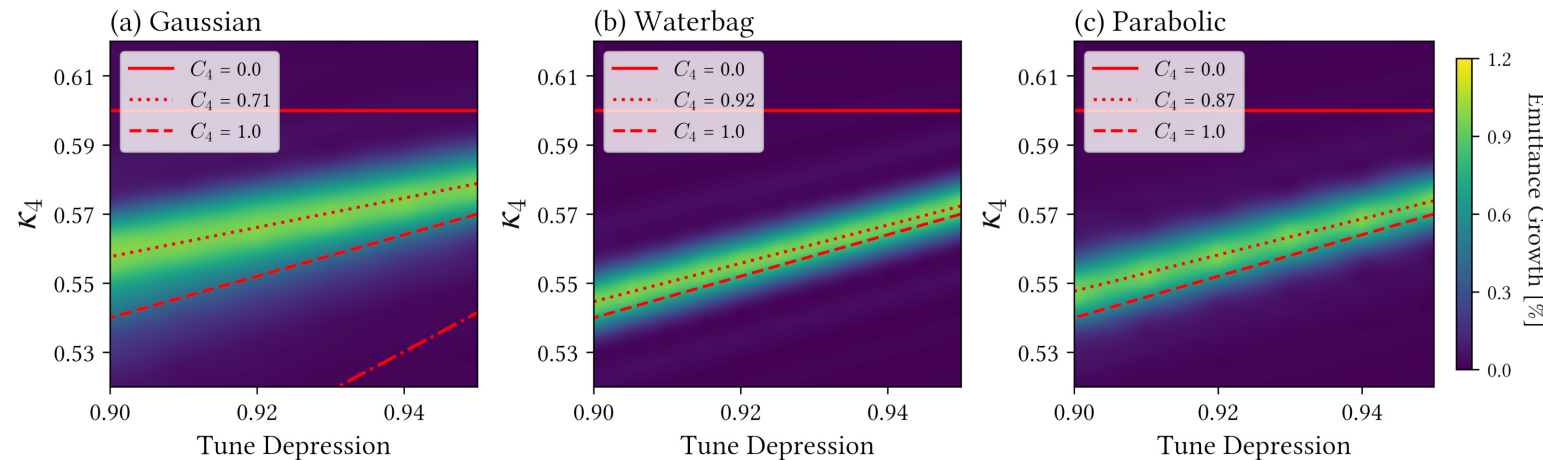


コヒーレントチューンシフト因子の評価

任意周波数(チューン κ_m)の m 次外部擾動による共鳴の発生条件:

Tune depression η が固定されている場合

$$k\nu_{0x} + \ell\nu_{0y} = \frac{\kappa_m}{1 - (1 - \eta)C_m}$$



非結合共鳴

結合(和)共鳴

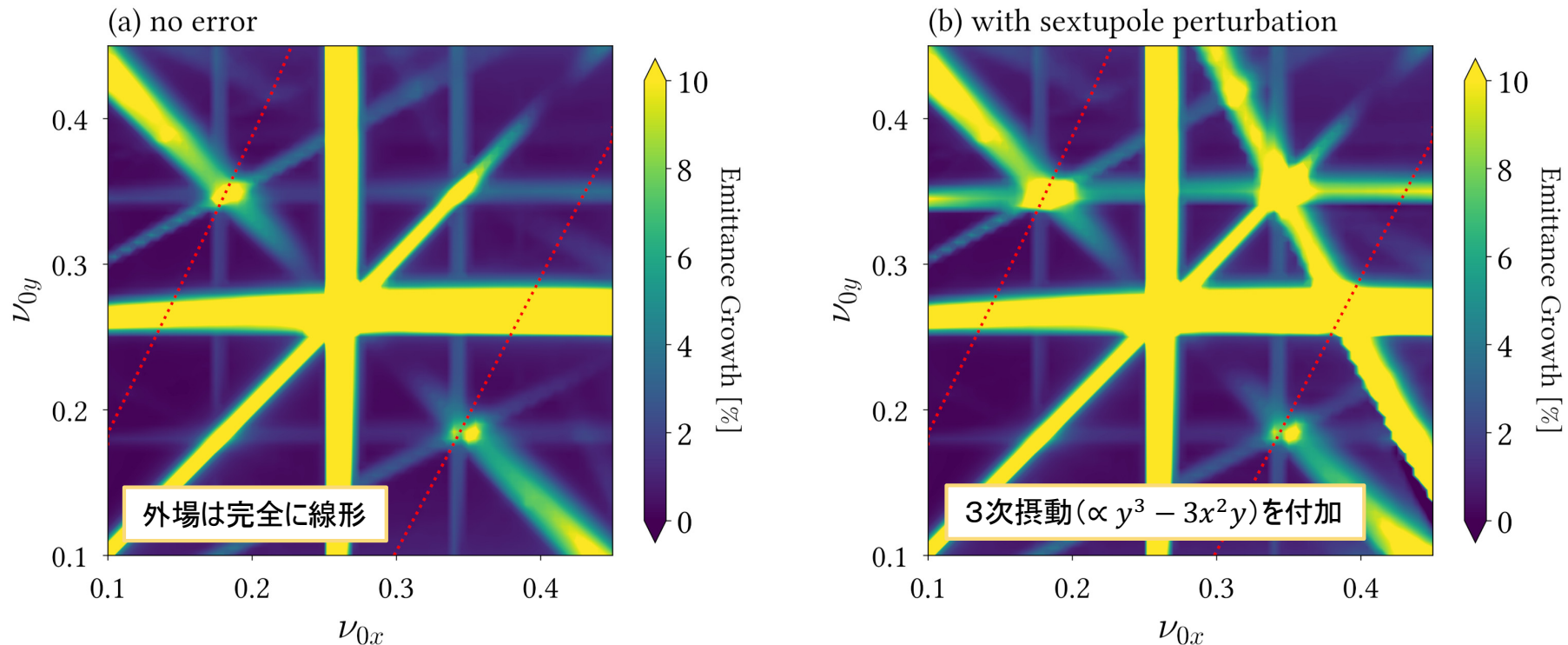
	C_2	C_3	C_4
<i>Gaussian</i>	0.78 ± 0.05	0.77 ± 0.06	0.71 ± 0.06
<i>Waterbag</i>	0.71 ± 0.04	0.87 ± 0.03	0.92 ± 0.01
<i>Parabolic</i>	0.73 ± 0.05	0.85 ± 0.04	0.87 ± 0.02

	C_2	C_3	C_4
<i>Gaussian</i>	0.71 ± 0.05	0.72 ± 0.08	-----
<i>Waterbag</i>	0.72 ± 0.05	0.82 ± 0.03	0.84 ± 0.01
<i>Parabolic</i>	0.71 ± 0.05	0.80 ± 0.05	0.79 ± 0.01

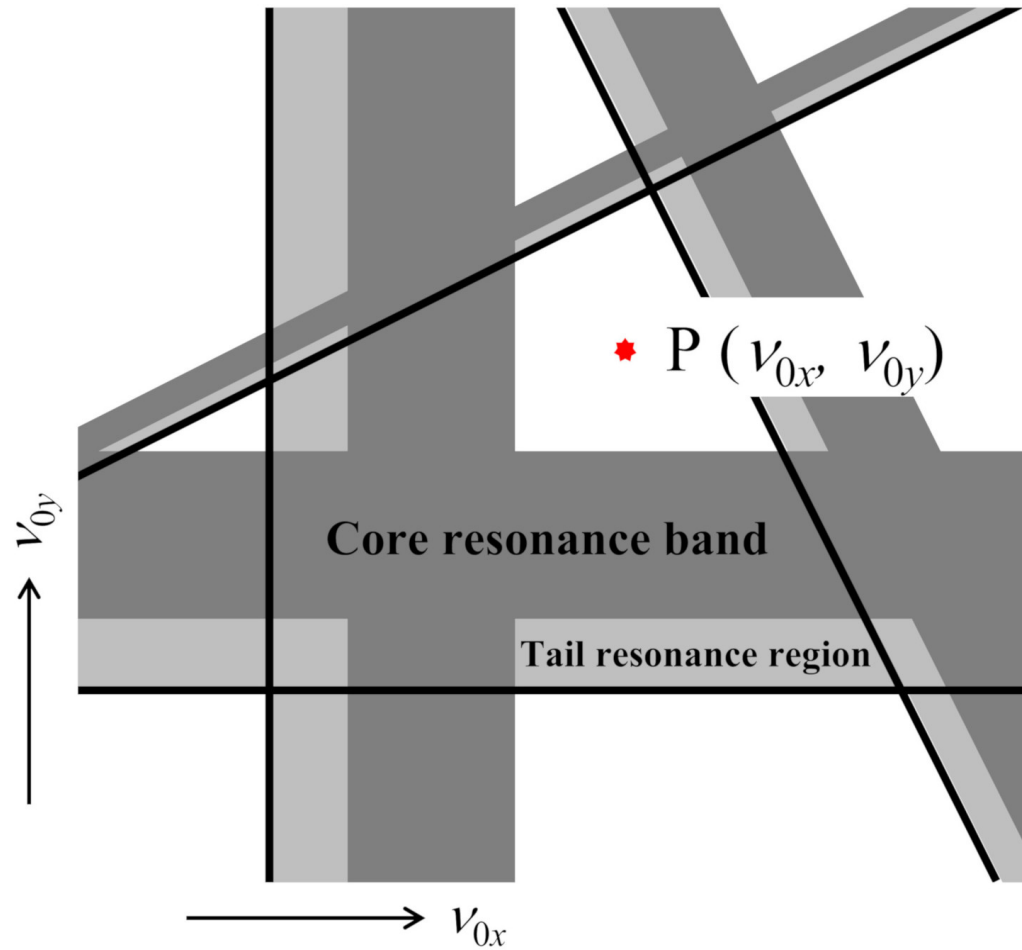
差共鳴帯の抑制

初期エミッタスが条件 $I_{k\ell} \equiv \frac{\varepsilon_x}{k} + \frac{\varepsilon_y}{\ell} = 0$ を満たす場合、
対応する差共鳴 ($k\ell < 0$) の発生が強く抑制される！

初期エミッタス比 $\varepsilon_x / \varepsilon_y = 2$ ($I_{2,-1} = 0$) の下で行ったPIC計算の結果



チューンダイアグラム (coherent picture)



コヒーレント共鳴条件

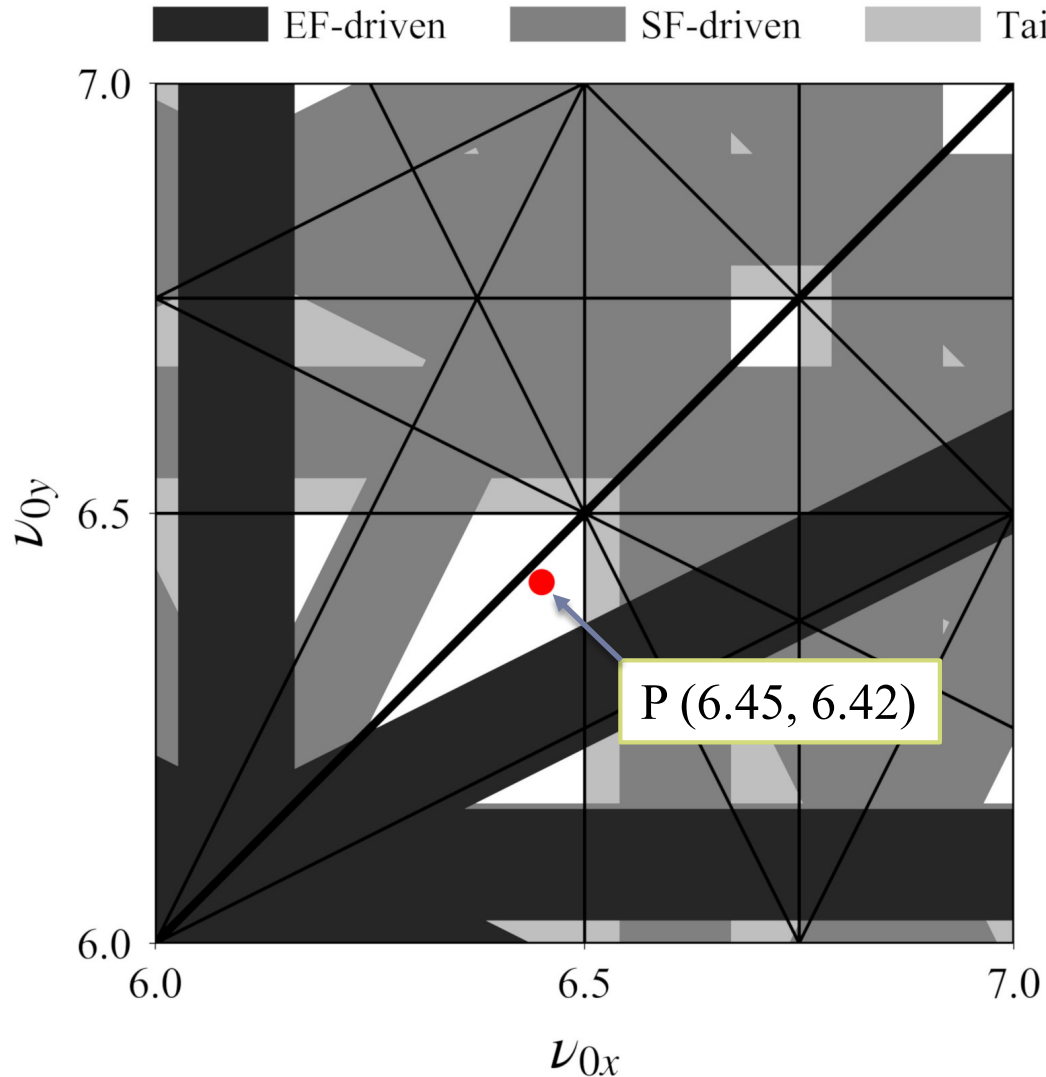
$$k(\nu_{0x} - C_m \Delta \bar{V}_x) + \ell(\nu_{0y} - C_m \Delta \bar{V}_y) = \frac{N_{\text{sp}} n'}{2}$$

$$\text{バンド幅: } \frac{\Delta \bar{V}}{\eta} \approx \frac{\lambda R r_p}{4 \epsilon_{\perp} \beta^2 \gamma^3}$$

新ルール

- ① 低次モードの C_m 因子として適切な値を選ぶ。
- ② 2次元コヒーレント共鳴仮説に基づいて、3次（リングの動作条件によっては4次）までの共鳴線を引く。
- ③ 上掲の近似式を使って、②で描いた共鳴線に一定のバンド幅を付与する。
- ④ 条件 $I_{k\ell} = 0$ を満たす差共鳴がもしあれば、当該共鳴帯の幅は狭めるか、あるいは単に無視する。
- ⑤ 単粒子共鳴線と集団共鳴帯に挟まれた領域（テール共鳴領域）は不安定帯と見なす。
- ⑥ バンド・フリー領域に動作点 P を置く。

適用例 (RCS @ J-PARC)



ラティス超周期数	3
周長($2\pi R$)	348.333 m
初期エネルギー	400 MeV
初期エミッタンス	200 $\pi \text{mm} \cdot \text{mrad}$
バンチ長	92 m
粒子数(単バンチ)	4.165×10^{13}

RMS tune depression : $\eta \approx 0.98$

$$\text{Band width} : \frac{\Delta\nu}{\eta} \approx 0.13$$

- ▶ Sextupole mode ($m \leq 3$) 以下の低次不安定性を考慮。
- ▶ $C_2 = 0.75$ および $C_3 = 0.8$ を仮定。
- ▶ RCSでは $\varepsilon_x \approx \varepsilon_y$ なので、 $(k, \ell, n') = (1, -1, 0)$ に沿った差共鳴のバンド幅をほぼ無視。